

A1 — Operative Spezifikation der Metrik-Pipeline auf dem ST-Graph

(Formalisierung des Skripts `ST.py` / `st_pipeline_metrics.py`)

antaris

18. August 2025

Ziel. Dieses Dokument formalisiert die im Skript implementierte Pipeline zur Erzeugung des Sierpiński-Tetraeder-Graphen, zur Definition disjunkter Regionen via IFS-Präfixe, zur Berechnung fermionischer Korrelationsmatrizen (halbgefüllter Grundzustand), zu Verschränkungs- und Informationsmaßen sowie zu Schnittmetriken (*cut*-Kanten, mittlere Kreuzblöcke $\langle |C| \rangle$, minimale Graphdistanzen) und zur statischen / animierten 3D-Visualisierung.

0. Reproduzierbarkeit und Artefakte

Für eine gegebene Tiefenstufe $L \in \mathbb{N}$ erzeugt die Pipeline folgende Dateien (für $L = 4$ getestet):

- `regions_observables_exclusive.csv` — regionale Observablen ($|A|, S(A), I(A:\text{Rest}), \langle |C| \rangle_{\text{intra}}$),
- `pairs_observables_exclusive.csv` — Paarmetriken ($I(A:B), \text{cut_edges}, \langle |C| \rangle_{\text{cross}}, d_{\text{min}}$),
- `levels_observables.csv` — Geburts-Layer ℓ mit $(n_\ell, S(\ell), I(\ell:\text{Rest}))$,
- `static_colored_obs_exclusive.png, levels_S_MI.png, static_colored_obs_exclusive_rotate.gif`

Die numerische Diagonalisierung verwendet eine deterministische Seed-Wahl, um Entartungen kontrolliert zu brechen.

1. Sierpiński-Tetraeder-Graph bei Tiefe L

Definition 1 (IFS, Wörter, Zellen, Knotenmenge). *Seien die Eckpunkte $V = \{v_0, v_1, v_2, v_3\} \subset \mathbb{R}^3$ gegeben durch $v_0 = (0, 0, 0)$, $v_1 = (2^L, 0, 0)$, $v_2 = (0, 2^L, 0)$, $v_3 = (0, 0, 2^L)$. Die vier Kontraktionen $S_i(x) = \frac{1}{2}(x + v_i)$ definieren eine IFS. Für L sei $W_L = \{0, 1, 2, 3\}^L$ die Wortmenge. Zu jedem Präfix $w \in \{0, 1, 2, 3\}^{\leq L}$ gehört die Zelle $S_w(\Delta)$ mit $\Delta = \text{conv}(V)$. Die Knotenmenge \mathcal{V}_L entsteht als Vereinigung aller Eckbilder $S_w(v_i)$, $w \in \{0, 1, 2, 3\}^{\leq L}$, $i \in \{0, \dots, 3\}$; Duplikate werden identifiziert.*

Definition 2 (Kantenmenge, Adjazenz, Laplaceoperator). *Für jede Zelle $S_w(\Delta)$ werden die sechs Kanten des Tetraeders auf die Eckbilder $S_w(v_i)$ übertragen. Mit $A_L \in \{0, 1\}^{N \times N}$, $N = |\mathcal{V}_L|$, bezeichne die Adjazenzmatrix und $D = \text{diag}(A_L \mathbf{1})$. Der ungewichtete Graph-Laplaceoperator ist $\mathcal{L}_L = D - A_L$.*

2. Freies Fermionmodell und Korrelationsmatrix

Wir interpretieren $H := \mathcal{L}_L$ als Tight-Binding-Hamiltonoperator und besetzen zum Füllgrad $\nu = \frac{1}{2}$ den Grundzustand. Sei $H = U \Lambda U^\top$ eine Eigenzerlegung (reell-symmetrisch). Mit $M = \lfloor \nu N \rfloor$ sei U_{occ} die Matrix der M niedrigsten Eigenvektoren. Die *Ein-Teilchen-Korrelationsmatrix* lautet

$$C = U_{\text{occ}} U_{\text{occ}}^\top \in \mathbb{R}^{N \times N}. \quad (1)$$

Zur numerischen Entartungsauflösung wird eine infinitesimale diagonale Störung $H \mapsto H + \varepsilon \text{diag}(\xi)$ verwendet (fixer Seed).

3. Regionen über Präfixe (exklusive Zuweisung)

Definition 3 (Präfix-induzierte Regionen). Für vorgegebene Präfixe \wp_R, \wp_Y, \wp_G definieren wir $A(\wp) = \{i \in \mathcal{V}_L \mid i \text{ ist Eckbild einer Zelle } S_w(\Delta) \text{ mit } w \text{ Präfix } \wp\}$. Die exklusive Zuweisung erfolgt in der Reihenfolge $RED \succ YELLOW \succ GREEN$ über disjunkte Mengen

$$A_RED := A(\wp_R), \quad A_YEL := A(\wp_Y) \setminus A_RED, \quad A_GRN := A(\wp_G) \setminus (A_RED \cup A_YEL). \quad (2)$$

Im Testfall $L=4$ werden $\wp_R = (0, 1, 2, 3)$, $\wp_Y = (1, 0)$, $\wp_G = L0$ -Ecken eingesetzt.

4. Entropische Größen und Informationsmaße

Für eine Indexmenge $A \subset \{1, \dots, N\}$ bezeichne $C_A := C_A, A$ den korrespondierenden Block.

Definition 4 (Verschränkungsentropie (freie Fermionen)). Seien $\lambda_1, \dots, \lambda_{|A|} \in (0, 1)$ die Eigenwerte von C_A . Dann ist die von Neumann-Entropie des Gaussian-Reduktionszustands

$$S(A) = - \sum_{j=1}^{|A|} \left[\lambda_j \log \lambda_j + (1 - \lambda_j) \log(1 - \lambda_j) \right]. \quad (3)$$

Definition 5 (Wechselseitige Information). Für disjunkte A, B ist

$$I(A:B) = S(A) + S(B) - S(A \cup B). \quad (4)$$

Für den reinen Gesamtzustand gilt $I(A:\text{Rest}) = 2S(A)$.

Definition 6 (Intra-/Cross-Korrelationsmaße).

$$\langle |C| \rangle_{\text{intra}}(A) := \frac{1}{|A|(|A| - 1)} \sum_{\substack{i,j \in A \\ i \neq j}} |C_{ij}|, \quad (5)$$

$$\langle |C| \rangle_{\text{cross}}(A, B) := \frac{1}{|A||B|} \sum_{i \in A} \sum_{j \in B} |C_{ij}|. \quad (6)$$

5. Schnittmetriken im Graphen

Definition 7 (Schnittkanten, minimale Distanz). Die Anzahl der Schnittkanten zwischen disjunkten Mengen A, B ist $\text{cut}(A, B) := |\{ \{i, j\} \in \mathcal{E}_L \mid i \in A, j \in B \}|$. Die minimale Graphdistanz $d_{\min}(A, B)$ ist die kleinstmögliche Pfadlänge zwischen einem Knoten aus A und einem Knoten aus B , berechnet über Multi-Source-BFS.

6. Geburts-Layer ℓ

Definition 8 (Ersterscheinungstiefe). Jedem $x \in \mathcal{V}_L$ ordnen wir die minimale Präfixtiefe $\ell(x) \in \{0, \dots, L\}$ zu, ab der x als Eckbild vorkommt. Für $V_{\ell} := \{x \in \mathcal{V}_L \mid \ell(x) = \ell\}$ berechnen wir $S(V_{\ell})$ und $I(V_{\ell}:\text{Rest}) = 2S(V_{\ell})$.

7. Numerik und Komplexität (Überblick)

- Aufbau $(\mathcal{V}_L, \mathcal{E}_L)$ über alle Zellen $S_w(\Delta)$ hat Kosten $\mathcal{O}(4^L \cdot L)$ (mit Deduplikation).
- BFS für d_{\min} : $\mathcal{O}(|\mathcal{V}_L| + |\mathcal{E}_L|)$.
- Vollständige Eigenzerlegung von H : $\mathcal{O}(N^3)$; Hauptspeicher $\mathcal{O}(N^2)$.
- Entropie/MI über Spektren von C_A : Kosten dominieren durch Eigenwerte auf $|A| \times |A|$ -Blöcken.

8. Visualisierung

Die 3D-Darstellung nutzt eine starre Rotation $R \in \text{SO}(3)$, die die Ebene der Grundfläche auf die xy -Ebene abbildet, sowie eine kantengenau gezeichnete Gitterstruktur mit farbigen Regionen (exklusive Zuweisung). Die Annotation umfasst alle in Abschnitt 4–5 definierten Metriken. Zusätzlich wird ein Linienplot $(\ell, S(\ell), I(\ell:\text{Rest}))$ erzeugt.

9. Implementierungs-Mapping (Audit)

Die folgenden Funktionsnamen sind Bindeglieder zwischen Formalisierung und Implementierung:

- `build_st_graph_with_cells`: Konstruktion $(\mathcal{V}_L, \mathcal{E}_L)$ und Zell-Indizes.
- `adjacency_from_edges`, `laplacian_from_adjacency`: A_L, \mathcal{L}_L .
- `correlation_matrix_groundstate`: Grundzustand zum Füllgrad $\nu=\frac{1}{2}$ und C .
- `region_indices_from_prefixes` + exklusive Zuweisung: Mengen $A_{\text{RED}}, A_{\text{YEL}}, A_{\text{GRN}}$.
- `von_neumann_entropy_from_C`, `MI_disjoint`, `mean_abs_crossC`.
- `cut_edges_between`, `min_graph_distance` (Multi-Source-BFS).
- Rendering: statische PNG, Linienplot, rotierendes GIF.

10. Abbildungen (Beispiel, $L = 4$)

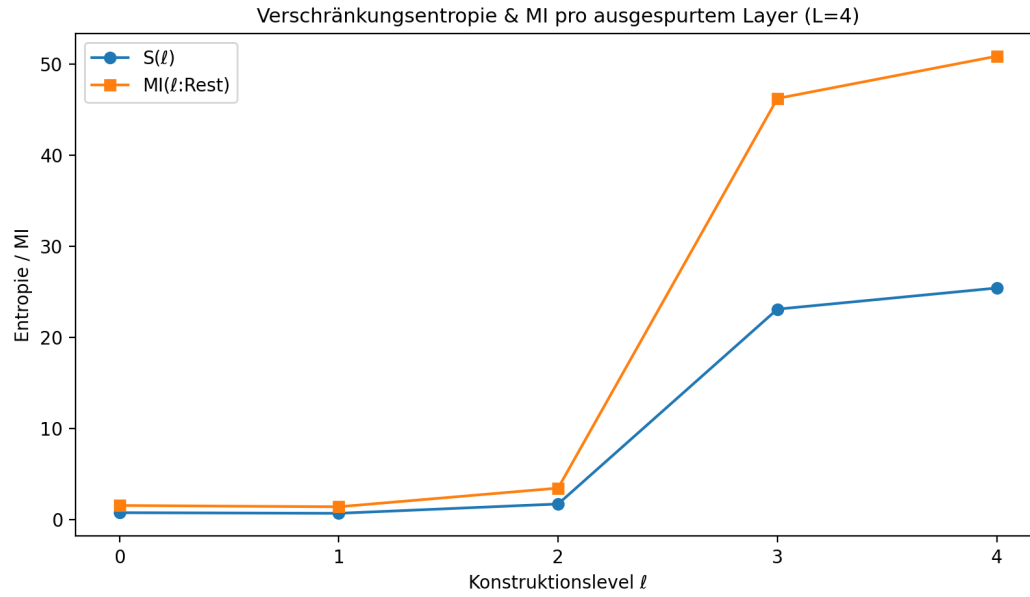


Abbildung 1: Verschrankungsentropie $S(\ell)$ und $I(\ell:Rest)$ pro Geburts-Layer.

Sierpinski-Tetraeder $L=4$ - EXKLUSIV + Schnitt-Metriken (GREEN L0, YELLOW L2, RED L4)

GREEN: $|A|=4$, $S=0.7871$, $MI(A:Rest)=1.5741$, $(|C|)_{intra}=0.0232$ | YELLOW: $|A|=63$, $S=26.5109$, $MI(A:Rest)=53.0218$, $(|C|)_{intra}=0.0076$ | RED: $|A|=4$, $S=1.6644$, $MI(A:Rest)=3.3288$, $(|C|)_{intra}=0.0999$
 $I(RED:YELLOW)=0.3263$ | $cut=3$ | $(|C|)_{cross}=0.0032$ | $d_{min}=1$ || $I(RED:GREEN)=0.0057$ | $cut=0$ | $(|C|)_{cross}=0.0049$ | $d_{min}=3$ || $I(YELLOW:GREEN)=0.1689$ | $cut=3$ | $(|C|)_{cross}=0.0060$ | $d_{min}=1$

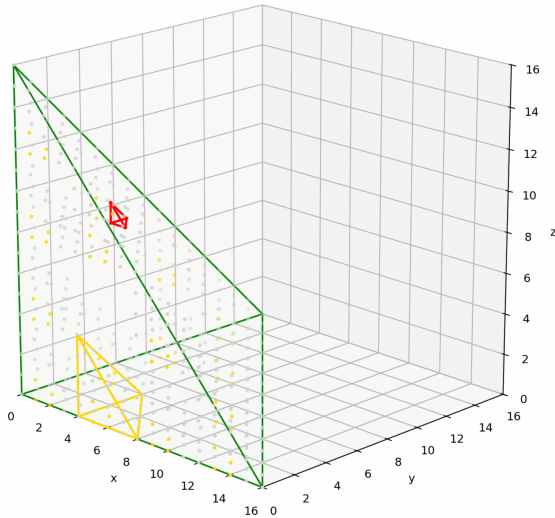


Abbildung 2: 3D-Ansicht des ST-Graphen mit exklusiver Regionenfärbung und Metrik-Annotation.